

### 第三章 OFDM 指標式通道估測

在 OFDM 傳輸系統中，我們在次載波上以特定的調變方式來傳送資料，如 PSK 或 QAM，因此接收端必須知道載波上的振幅與相位才能估測所傳送的資料，但由第二章我們知道每個次載波的信號都會被通道衰減所影響，造成振幅與相位的失真，因此我們必須精準的估測出通道頻率響應，通常可分為兩種估測方式，一是指標式估測法(Pilot-based channel estimation)，另一種是盲蔽式通道估測法(Blind channel estimation)。前者在傳送資料的過程加入一些 pilot，在接收端利用這些已知的 pilot 信號來估測通道，後者不需額外加入 pilot，利用接收到信號的特性來作通道估測。一般而言，指標式通道估測需付出一些額外的頻寬來傳送 pilot，相對也能有較佳的估測效能，在此我們以指標式估測法來估測通道頻率響應。

#### 3.1 指標式估測法系統模型

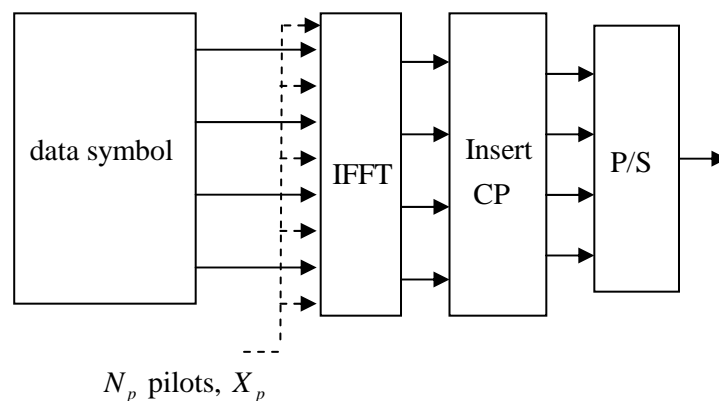


圖 3.1-1 指標式估測法的 OFDM 系統模型

如圖 3.1-1，我們在想要傳送的資料信號之間，讓  $N_p$  個已知的指標信號夾雜其中傳送出去，這些指標信號的值為已知的  $X_p$ ，在接收端我們利用傳送指標信號的次載波位置的接收信號  $Y_p$  與  $X_p$  的關係來估算出 pilot 受到的通道頻率響應  $\hat{H}_p$ 。定義估計通道與實際通道的誤差為  $e = H_p - \hat{H}_p$ ，我們以均方誤差 (Mean Square Error, MSE) 來評估通道估計的效能，MSE 越小，代表我們通道估計的越準確。

$$MSE = E \left\{ \|e\|^2 \right\} = E \left\{ \|H_p - \hat{H}_p\|^2 \right\} \quad (3.1-1)$$

若為時變通道，根據 2.4 節的討論，接收信號還包含都卜勒效應造成的 ICI，將其視為雜訊的一部分，則實際通道響應為  $H_{p,p}$ ：

$$MSE = E \left\{ \|e\|^2 \right\} = E \left\{ \|H_{p,p} - \hat{H}_p\|^2 \right\} \quad (3.1-2)$$

### 3.2 Pilot 位置的安排

在不同的通道狀況下適合不同的 pilot 編排樣式[17]，在此我們介紹兩種基本樣式並說明其考量的因素。

圖 3.2-1 為 OFDM 傳送端將連續的資料以 S/P 轉換為平行排列的資料，其中橫軸為時間函數，以 OFDM symbol 為單位，縱軸代表頻域，以 subcarrier 為單位，因此圈起來的部分就代表一個 OFDM 符元。

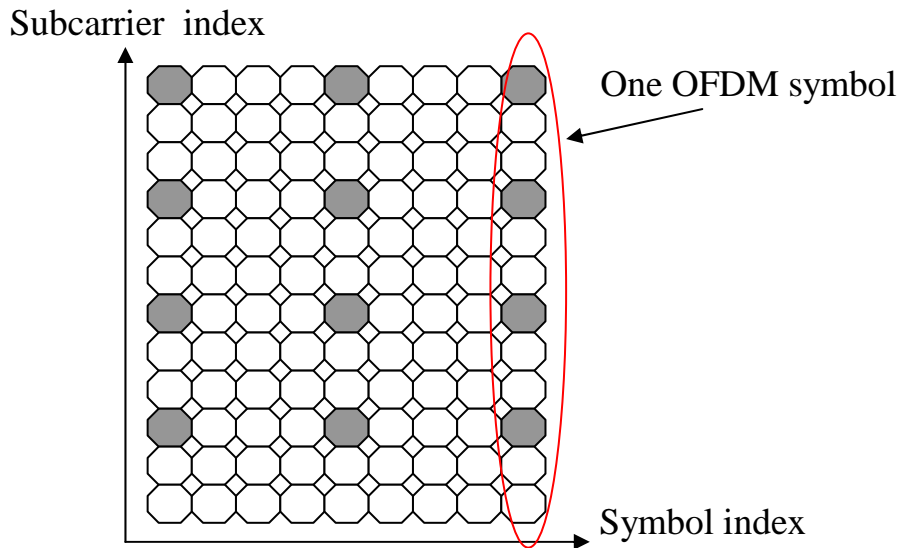


圖 3.2-1 Pilot 的安排樣式，灰色為 pilot 位置，白色為資料位置

圖中白色的區塊代表傳送資料的次載波，而灰色的區塊代表傳送 pilot 的次載波，接收端利用此 pilot 樣式估計通道須兩個步驟：

1. 接收端收到信號後，利用灰色區塊已知 pilot 信號將其頻率上通道頻率響應估測出來。
2. 估計出 pilot 位置的通道響應後，以內插法計算其他白色區塊(data part)的通道值。

在相同的 Symbol index 上，如圖 3.2-1 圈起來的部分，pilot 估出的通道值可視為在該時間點通道頻率響應在頻率軸上的取樣，因此 data 部分的通道值需對 pilot 估出的通道值作頻域上的內插。同理，在相同的 Subcarrier index 上，pilot 估出的通道值可視為在該次載波上通道頻率響應於時間軸上的取樣，而 pilot 間 data 部分的通道值需對 pilot 估出的通道值作時域上的內插。

總而言之，整體的通道估計，就是將 pilot 所估出通道頻率響應的取樣值分別在時域與頻域以內插法建構出來。因此，除了 pilot 估計的準確度外，pilot 擺放密度越大，整體通道估計準確度越高，但資料傳送速率也相對下降，若 pilot 密度越小，資料傳送速率提升，但內插法的誤差可能將大幅提高，這是必須作取捨(trade-off)的。

因此決定 pilot 在時域與頻域的密度，有其依循的準則，當通道為頻率選擇通道(frequency-selective channel)，其在頻率軸變動越快，就必須增加 pilot 在縱軸的數量來增加取樣點。若通道為時變通道，當同一次載波上通道頻率響應隨時間變化加快，就必須增加 pilot 在時間軸上的數量以增加取樣點。無論是在時域或頻域，pilot 對通道取樣的速率必須滿足 Nyquist 的取樣定理。

通道的變化程度有兩個指標：同調時間(coherent time)與同調頻寬(coherent bandwidth)[18]。同調時間為都卜勒擴散(Doppler spread)的倒數：

$t_{co} = \frac{1}{f_{D_{max}}}$ ，都卜勒擴散代表通道頻率響應在時間軸上的變動頻寬，因此在

同調時間內，各次載波上通道頻率響應變動不大。而同調頻寬為最大路徑

延遲的倒數： $f_{co} = \frac{1}{\tau_{max}}$ ，在同調頻寬內，通道頻率響應變動不大。故令時間

軸上每兩個 pilot 相距  $D_t$  個 OFDM symbol，頻率軸上每隔  $D_f$  個次載波放置

一個 pilot，則  $D_t$  與  $D_f$  必須符合 Nyquist 取樣定理：

$$D_t T_b \leq \frac{t_{co}}{2} \quad (3.2-1)$$

$$D_f \Delta f \leq \frac{f_{co}}{2} \quad (3.2-2)$$

其中， $T_b$  為 OFDM 符元區間， $\Delta f$  為次載波間距，簡言之為兩個 pilot 之間的距離必須在 coherent time/bandwidth 的一半以內，如此在 pilot 間通道變化約可視為線性關係。

在此我們舉出兩種基本 pilot 的排列方式。如圖 3.2-2，左圖為 block type，右圖為 comb-type。

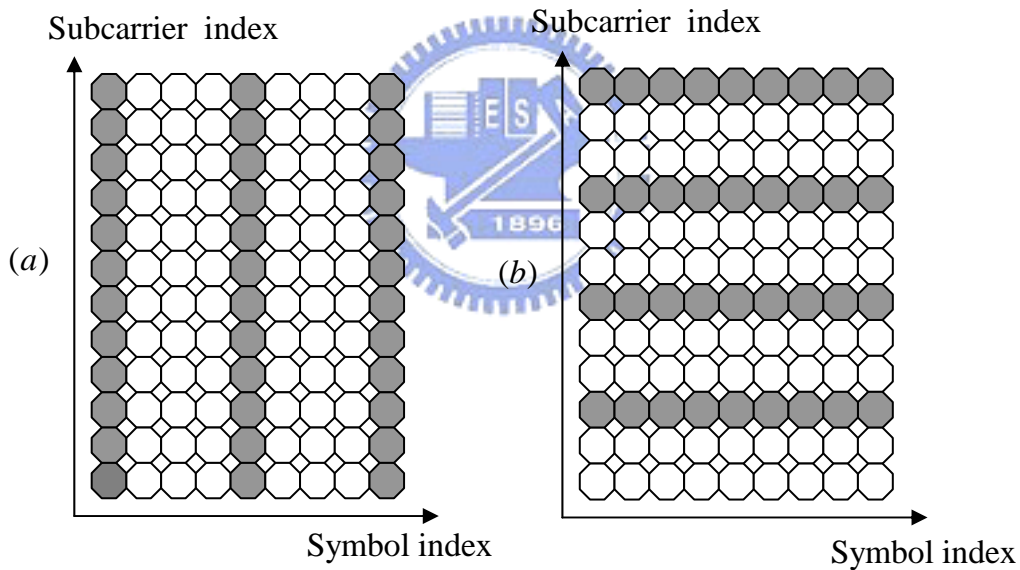


圖 3.2-2 基本 pilot 排列方式 (a)Block-type (b)Comb-type

Block-type 將一個 OFDM symbol 視為一個 block，並且 pilot 便放置在整個 OFDM symbol 所有載波上， $D_f = 0$ ，故不用在頻域作內插，在時域仍必須符合式(3.2-1)取樣定理每隔  $D_t$  個 OFDM symbol 放置一組 pilot block，再對時域做內插估出整體通道。由式(3.2-2)可知在頻率軸上 pilot 密度越高，

越能忍受頻率選擇衰減通道，且當同調時間長，pilot 在時間軸間隔可拉較遠，故 Block-type 適合用於緩慢衰減的頻率選擇通道。

圖 3.2-2(b)為 Comb-type 排列，與 Block-type 相反，在固定的次載波上每個 OFDM symbol 都放 pilot，故  $D_t = 0$ ，不需在時域作內插，而在頻域上 pilot 間隔需滿足式(3.2-2)取樣定理，再對頻域作內插估算整體通道。當最大通道延遲長，在頻率軸 pilot 密度勢必提高，則將浪費過多頻寬於 pilot 的傳送，故 Comb-type 適合用於快速平坦衰減通道。

在本論文第五章的模擬中，為寬頻高速系統，特色是 symbol duration 較短，故都卜勒影響較輕微，pilot 間隔需滿足：

$$D_t \leq \frac{t_{co}}{2T_b} = \frac{1}{2f_{D,\max}T_b} = \frac{1}{2 \cdot 1.38_{\text{KHz}} \cdot 20.48_{\mu\text{s}}} = 17.6 \quad (3.2-3)$$

$$D_f \leq \frac{f_{co}}{2\Delta f} = \frac{1}{2\tau_{\max}\Delta f} = \frac{1}{2 \cdot 1.76_{\mu\text{s}} \cdot 48.8_{\text{KHz}}} = 5.8 \quad (3.2-4)$$

可見適合使用 Block-type 排列方式，不過，為了進一步採用 2-D pilot 排列(如圖 3.2-1)以節省頻寬，我們需分析在頻域作內插所帶來的誤差影響。因此在模擬時，我們仍採用 Comb-type pilot 排列方式，排除時域內插所帶來的些許誤差影響，單就 Comb-type 造成的通道估計誤差進行討論。下一節開始我們就 Comb-type 通道估計演算法與內插進行說明。

### 3.3 Pilot 位置的通道響應估測

我們在  $N$  個次載波的 OFDM 信號中放入  $N_p$  個 pilot，則第  $k$  個次載波所傳送的信號可表示為：

$$X(k) = X(mD_f + l) = \begin{cases} X_p(m) & l=0, m=0, \dots, N_p - 1 \\ data & l=1, \dots, D_f - 1 \end{cases} \quad (3.3-1)$$

$X_p(m)$  代表 pilot 所傳送的值， $N_p$  個 pilot 可以設定為相同值以簡化。接著，我們把  $N_p$  個通道頻率響應值以矩陣的形式表示：

$$\begin{aligned} \mathbf{H}_p &= [H_p(0) H_p(1) \dots H_p(N_p - 1)]^T \\ &= [H(0) H(D_f) \dots H((N_p - 1)D_f)]^T \end{aligned} \quad (3.3-2)$$

接收端所收到 pilot 位置信號以矩陣表示為：

$$\begin{aligned} \mathbf{Y}_p &= [Y_p(0) Y_p(1) \dots Y_p(N_p - 1)]^T \\ &= [Y(0) Y(D_f) \dots Y((N_p - 1)D_f)]^T \end{aligned} \quad (3.3-3)$$

根據式(2.4-3)，可把接收訊號表示為：

$$\mathbf{Y}_p = \mathbf{X}_p \mathbf{H}_p + \mathbf{I}_p + \mathbf{W}_p \quad (3.3-4)$$

其中， $\mathbf{X}_p$  為 pilot 信號， $\mathbf{I}_p$  為 pilot 所受 ICI 項， $\mathbf{W}_p$  為 pilot 位置上雜訊。 $\mathbf{X}_p$

以矩陣表示為：

$$\mathbf{X}_p = \begin{bmatrix} X_p(0) & & 0 \\ 0 & X_p(1) & 0 \\ \vdots & \ddots & \vdots \\ 0 & \cdots & X_p(N_p - 1) \end{bmatrix}_{N_p \times N_p} \quad (3.3-5)$$

我們希望由  $\mathbf{Y}_p$  與  $\mathbf{X}_p$  的關係來求得  $\mathbf{H}_p$ ，以下我們介紹最小平方差估測法 (Least Square, LS) 與最小均方誤差估測演算法 (Minimum mean square error, MMSE) 來估測我們所要的  $\mathbf{H}_p$ 。

### 3.3.1 LS 演算法

問題:  $\mathbf{Y} = \mathbf{X} \cdot \mathbf{H} + \mathbf{W}$



現在  $\mathbf{Y}$  與  $\mathbf{X}$  已知， $\mathbf{W}$  為雜訊，要找到估計值  $\hat{\mathbf{H}}$  使等式左右平方誤差最小，由於  $\mathbf{X} \cdot \hat{\mathbf{H}}$  是  $\mathbf{X}$  行向量的線性組合，屬於  $\mathbf{X}$  的行空間，要讓  $\mathbf{Y}$  與  $\mathbf{X} \cdot \hat{\mathbf{H}}$  最接近，則  $\mathbf{X} \cdot \hat{\mathbf{H}}$  最佳的選擇為  $\mathbf{Y}$  在  $\mathbf{X}$  的行空間投影。由正交定理可得：

$$(\mathbf{X} \cdot \hat{\mathbf{H}})^H \cdot (\mathbf{Y} - \mathbf{X}\hat{\mathbf{H}}) = 0 \quad (3.3-6)$$

可得 LS 的解為：

$$\hat{\mathbf{H}} = (\mathbf{X}^H \mathbf{X})^{-1} (\mathbf{X}^H \mathbf{Y}) \quad (3.3-7)$$

將  $\mathbf{I}_p$  視為雜訊的一部分，則 pilot 以 LS 演算法所估算通道為：

$$\hat{\mathbf{H}}_p = (\mathbf{X}_p^H \mathbf{X}_p)^{-1} (\mathbf{X}_p^H \mathbf{Y}_p) \quad (3.3-8)$$

其中，為  $\mathbf{X}_p$  方陣存在反矩陣，故可簡化為：

$$\begin{aligned}\hat{\mathbf{H}}_p &= \mathbf{X}_p^{-1} (\mathbf{X}_p^H)^{-1} (\mathbf{X}_p^H \mathbf{Y}_p) = \mathbf{X}_p^{-1} \mathbf{Y}_p \\ &= \begin{bmatrix} \frac{Y_p(0)}{X_p(0)} \\ \frac{Y_p(1)}{X_p(1)} \\ \vdots \\ \frac{Y_p(N_p-1)}{X_p(N_p-1)} \end{bmatrix} = \begin{bmatrix} \hat{H}_p(0) \\ \hat{H}_p(1) \\ \vdots \\ \hat{H}_p(N_p-1) \end{bmatrix}\end{aligned}\quad (3.3-9)$$

以 LS 演算法可將 pilot 上通道頻率響應求出，由 Mean square error(MSE)分析 LS 的效能：

$$\begin{aligned}MSE &= E \left\{ \left\| H_p(k) - \hat{H}_p(k) \right\|^2 \right\} \\ &= E \left\{ \left( H_p(k) - \hat{H}_p(k) \right)^* \left( H_p(k) - \hat{H}_p(k) \right) \right\} \\ &= E \left\{ \frac{W_p^*(k) W_p(k)}{X_p^*(k) X_p(k)} \right\} = E \left\{ \frac{\|W_p(k)\|^2}{\|X_p(k)\|^2} \right\} \\ &= \frac{1}{PSINR}\end{aligned}\quad (3.3-10)$$

PSINR 為傳送 pilot 能量與接收端雜訊及干擾能量的比值，可見 LS 演算法可藉由提高 pilot 傳送功率提升其效能。而在時變通道中，儘管雜訊功率相當低，通道估計準確度仍會受到 ICI 的限制。

### 3.3.2 MMSE 與 LMS 演算法[19]

對傳送 pilot 的其中一個次載波而言，令  $Y$  為接收到之 pilot 信號， $X$  為傳送端 pilot 信號，滿足： $Y = HX + N$ ， $H$  為此次載波受到的頻率響應， $N$  為 AWGN。設  $W$  為想求得的 MMSE 濾波器權重，可寫出誤差函數為：

$$e(W) = Y - W^H X \quad (3.3-11)$$

由於 MMSE 的最佳解為使均方誤差最小，

$$W_{MMSE} = \arg \min_W \left( E \left\{ \|e(W)\|^2 \right\} \right) \quad (3.3-12)$$

根據威能解(Wiener Solution)，我們可以求出上式的最佳解：

$$W_{MMSE} = R_{xx}^{-1} R_{xy} \quad (3.3-13)$$

其中，

$$\begin{aligned} R_{xy} &= E \{ XY^* \} = E \{ X(HX + N)^* \} \\ &= E \{ XX^* \} H^* = R_{xx} H^* \end{aligned} \quad (3.3-14)$$

$$\text{則可得 MMSE 解為： } W_{MMSE} = R_{xx}^{-1} R_{xy} = H^* \quad (3.3-15)$$

我們發現，利用 MMSE 演算法可直接求得通道的共軛複數，且沒有其它雜訊的干擾，但 MMSE 演算法的缺點是我們無法知道交錯相關係數  $R_{xy}$ 。故我們以適應性訊號處理的技巧中 LMS 演算法以遞迴方式將濾波器權重收斂至  $W_{MMSE}$ 。

根據式(3.3-11)，針對第  $k$  個 pilot 次載波位置我們可寫出其第  $n$  次遞迴之誤差函數為：

$$e_{p,k}(n) = Y_{p,k}(n) - \hat{W}_{p,k}^*(n-1)X_{p,k}(n) \quad (3.3-16)$$

LMS 演算法更新權重的步驟如下：

$$\text{Step 1: } \hat{W}_{p,k}(0) = 0$$

$$\text{Step 2: } e_{p,k}(n) = Y_{p,k}(n) - \hat{W}_{p,k}^*(n-1)X_{p,k}(n)$$

$$\text{Step 3: } \hat{W}_{p,k}(n) = \hat{W}_{p,k}(n-1) + \mu X_{p,k}(n)e_{p,k}^*(n) \quad (3.3-17)$$

其中， $\mu$  代表更新權重的步階大小(step size)， $\mu$  越大代表收斂越快，但收斂的結果誤差較大，將  $\mu$  調小可收斂至較精確的值，但收斂速度慢，可能需傳送數十個 OFDM symbol 才能達到穩定的收斂權重，在 SNR>0dB 時，我們可用 LS 所估通道的共軛複數作為 LMS 權重的初始值，加速其收斂時間。要注意的是， $\mu$  有範圍的限制，若過大將會發散而無法收斂： $0 \leq \mu \leq \frac{2}{\lambda}$ ， $\lambda$  代表 pilot 的平均輸入功率。

LMS 演算法能夠以簡單的運算將權重遞迴更新逼近於 MMSE 權重，不過需浪費一開始的數個 OFDM symbol 以達穩定收斂，在此我們不針對  $\mu$  作最佳化的討論，在模擬中我們以  $\mu$  能使權重於 10 個 OFDM symbol 內達成收斂為準。

### 3.3.3 通道內插

在我們以 pilot 估計出 pilot 位置的通道頻率響應後，我們利用已估得的通道值以內插法將其他 data 次載波上通道響應估算出來，內插的方式有很多，在此我們使用一階的線性內插，越高階的內插法可得到較佳的通道估測，但需付出較高的運算量[20]，在攜帶式裝置中，我們有時需犧牲些許效能減低功率消耗。

由式(3.3-1)與式(3.3-9)，pilot 位置已估出通道與其他次載波通道值可表示為：

$$H(k) = H(mD_f + l) = \begin{cases} \hat{H}_p(m) & l = 0, m = 0, \dots, N_p - 1 \\ \hat{H}_{\text{interp}}(mD_f + l) & l < D_f, m = 0, \dots, N_p - 1 \end{cases} \quad (4.3-18)$$

其中， $\hat{H}_{\text{interp}}$  即為以內插法估計出的通道響應：

$$H_{\text{interp}}(k) = H_{\text{interp}}(mD_f + l) = \begin{cases} H_p(m-1) + (H_p(m) - H_p(m-1)) \frac{l}{D_f} & \text{when } (m-1)D_f < k < mD_f \\ H_p(N_p - 1) + (H_p(N_p - 1) - H_p(N_p - 2)) \frac{l}{D_f} & \text{when } (N_p - 1)D_f < k < N \end{cases} \quad (4.3-19)$$

以上數學式如圖 3.3-1 所示，傳送 data 之次載波上的通道我們以最為靠近的兩個 pilot 已估通道來做線性內插，基於式(3.2-2)pilot 間隔符合通道的取樣定理，則 pilot 間之通道變化將趨近線性關係，當然，pilot 間隔  $D_f$  越小，此

線性關係就越強烈，內插法的準度也能提升。最後，我們能估算出包含了 pilot 與 data 部分的所有通道  $\hat{H}(k)$ ,  $k=0, \dots, N-1$ ，在接收端將各次載波的通道衰減補償回來後，即可作 OFDM 信號決策(decision)。

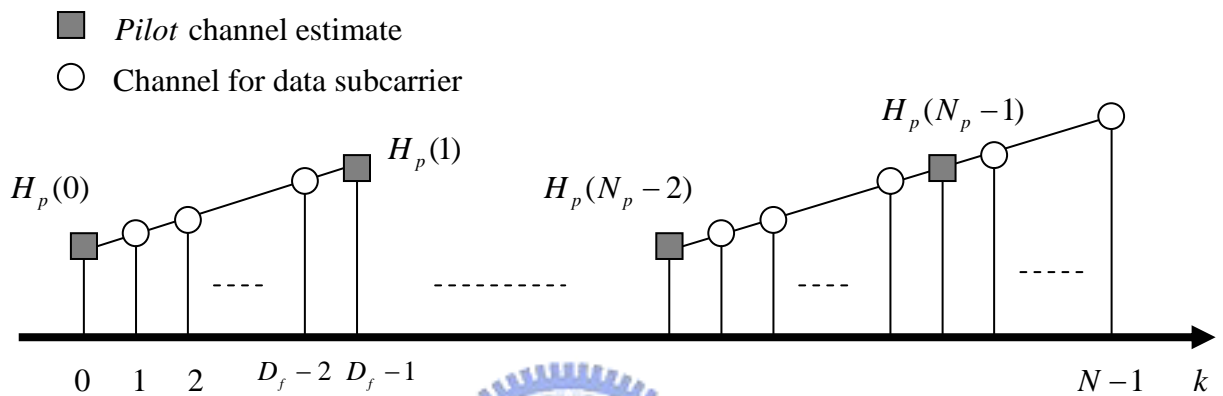


圖 3.3-1 一階線性通道內插

